



# Amylose cardiaque et scintigraphie

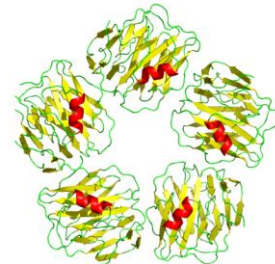
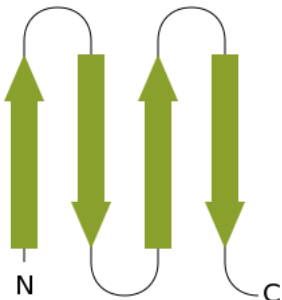
PHAN SY Olivier  
Centre Hospitalier Grenoble Alpes

---

## Physiopathologie

Dépôt extracellulaire de feuillets béta-amyloïde

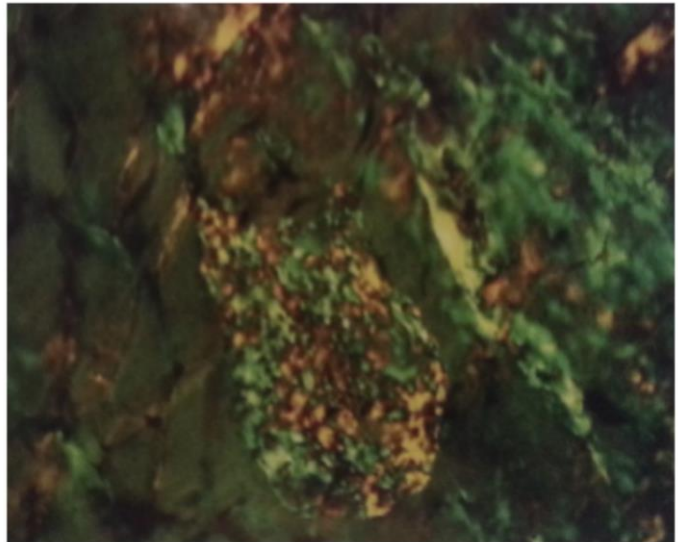
Liés par le P-component : protéine en forme de pentagone calcium dépendante



---

## Physiopathologie

- Colorés par Rouge Congo : biréfringence jaune-vert en lumière polarisée
- Spectroscopie de masse : gold standard dans la caractérisation du type





## Physiopathologie

Infiltration extracellulaire des tissus

- Cardiopathie hypertrophique restrictive
- ↴ relaxation diastolique : ↴ volume téldiaistolique
- Troubles de la conduction et du rythme
- Paralysie atriale : thrombus
- Insuffisance cardiaque droite : facteur de gravité



## Physiopathologie

Types d'amylose :

- AA : inflammatoire
- AL : chaîne légère d'immunoglobuline
- ATTR
  - ATTRm : mutation
  - ATTRwt : « amylose sénile »



## Physiopathologie

### AL

- Prévalence : 6-10 cas par million d'habitants
- Myélome  $\lambda$  ++
- Concerne 20% des myélomes symptomatiques
- 60-80% d'atteinte cardiaque
  
- Médiane de survie : 5,4 mois

Gertz, M. A., Benson, M. D., Dyck, P. J., Grogan, M., Coelho, T., Cruz, M., ... Merlini, G. (2015). Diagnosis, Prognosis, and Therapy of Transthyretin Amyloidosis. *Journal of the American College of Cardiology*, 66(21), 2451–2466. doi:10.1016/j.jacc.2015.09.075

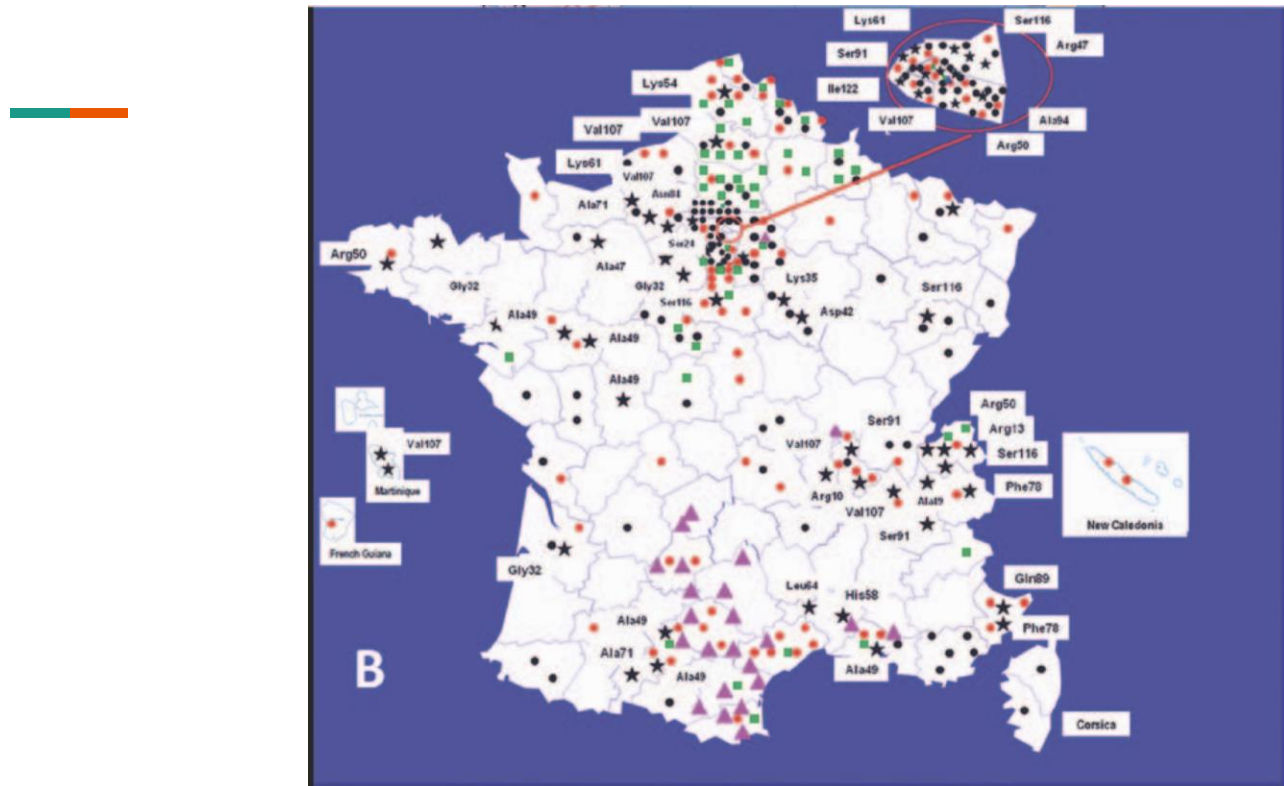


## Physiopathologie

- Transthyrétine
  - Produite par le foie +++
  - Transporte les hormones thyroïdiennes et la *retinol-binding protein*

### ATTRm

- Mutation du gène de la Transthyrétine
- > 110 mutations
- Portugal ++, Japon et Suède
- Val30Met : la plus fréquente



Adams, D., Lozeron, P., Theaudin, M., Mincheva, Z., Cauquil, C., ... Adam, C. (2012). Regional difference and similarity of familial amyloidosis with polyneuropathy in France. *Amyloid*, 19(sup1), 61–64.



## Physiopathologie

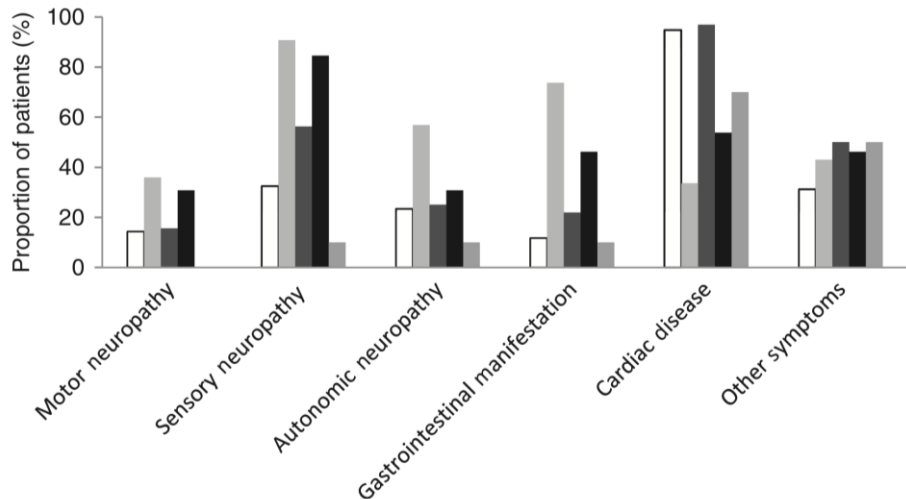
- Transthyrétine
  - Produite par le foie +++
  - Transporte les hormones thyroïdiennes et la *retinol-binding protein*

### ATTRm

- Mutation du gène de la Transthyrétine
- > 110 mutations
- Portugal ++, Japon et Suède
- Val30Met : la plus fréquente
- Val122Ile (Afrique et Amérique latine) & Leu111Met : atteinte cardiaque
- $\frac{3}{4}$  : homme
- Toute mutation confondue : 42% d'atteinte cardiaque

■ Val 122Ile (n = 32)

□ Wildtype ATTR (n = 67) ■ Val30Met (n = 437)  
■ Glu89Gln (n = 13) ■ Leu111Met (n = 10)



Coelho T, Maurer MS, Suhr OB. THAOS: The Transthyretin Amyloidosis Outcomes Survey: initial report on clinical manifestations in patients with hereditary and wild-type transthyretin amyloidosis. *Curr Med Res Opin* 2013;29:63–76.



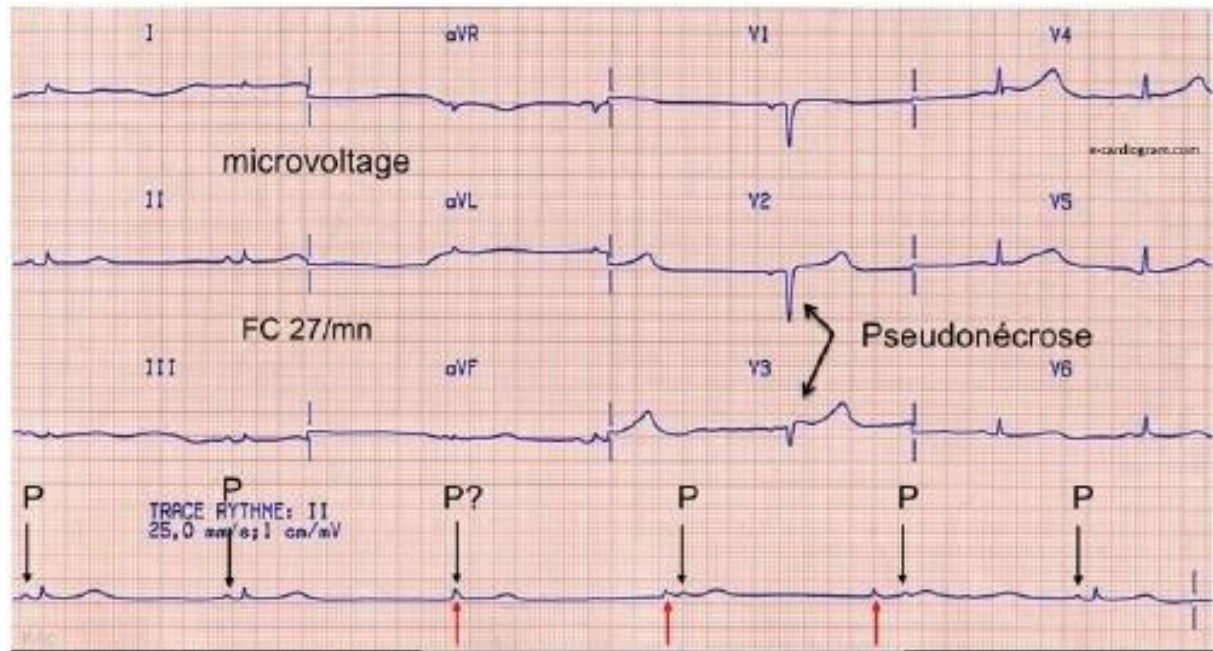
## Physiopathologie

### ATTRwt

- Wild-Type amylose = amylose sénile = SSA
- 90%-99% chez l'homme > 60 ans
- Médiane de survie : 60 mois
- 17% des arrêts cardiaques à FEVG conservée
  
- Associée à 50% de syndrome du canal carpien
- Canal carpien idiopathique : 34% de dépôts amyloïdes
- Symptôme précoce de l'ATTRwt ?

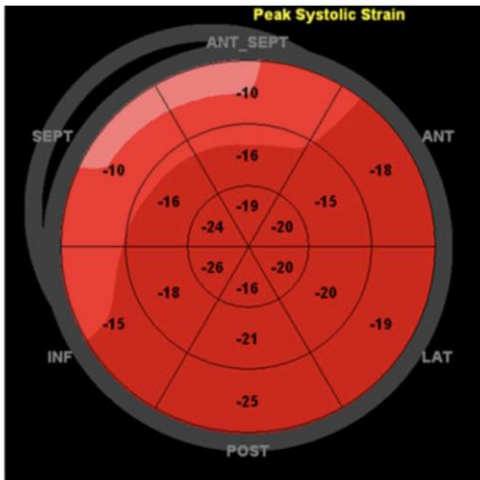
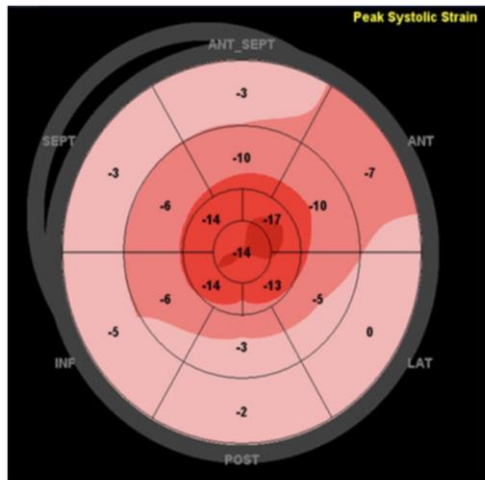
Sekijima Y, Uchiyama S, Tojo K, et al. High prevalence of wild-type transthyretin deposition in patients with idiopathic carpal tunnel syndrome: a common cause of carpal tunnel syndrome in the elderly. *Hum Pathol* 2011;42: 1785–91.

# ECG



# Echographie

- Epaississement concentrique des parois – aspect brillant, granité
- Strain : raccourcissement longitudinal 93% Se & 82% Sp

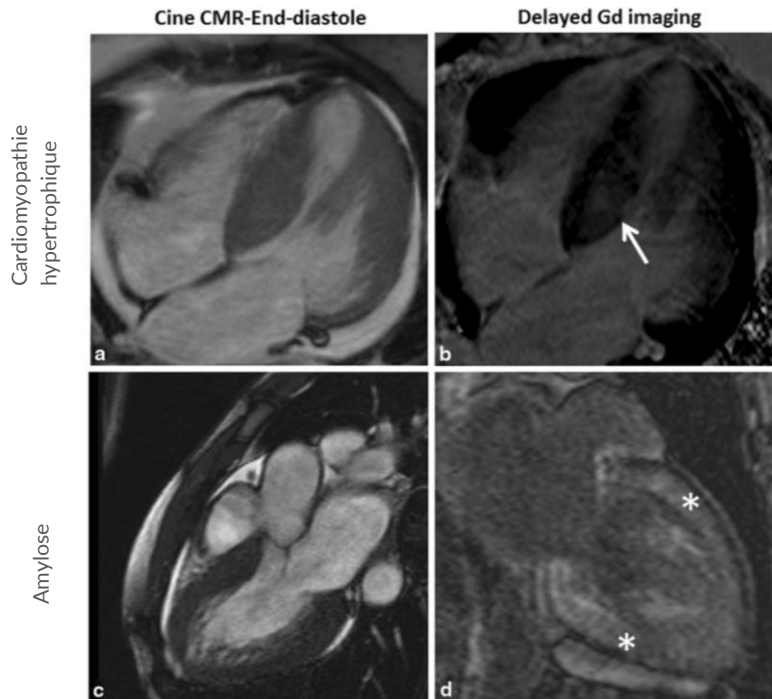


AlJaroudi, W. A., Desai, M. Y., Tang, W. H. W., Phelan, D., Cerqueira, M. D., & Jaber, W. A. (2013). Role of imaging in the diagnosis and management of patients with cardiac amyloidosis: State of the art review and focus on emerging nuclear techniques. *Journal of Nuclear Cardiology*, 21(2), 271–283.  
doi:10.1007/s12350-013-9800-5

# IRM

- Réhaussement Gd tardif des parois
- Hypertrophie
- Impossibilité de régler le T1
- Se : 80%
- Sp : 94%
- Caractérisation des types d'amylose difficile

Dungu JN, Valencia O, Pinney JH, et al. CMRbased differentiation of AL and ATTR cardiac amyloidosis. *J Am Coll Cardiol Img* 2014;7:133-42.



AlJaroudi, W. A., Desai, M. Y., Tang, W. H. W., Phelan, D., Cerqueira, M. D., & Jaber, W. A. (2013). Role of imaging in the diagnosis and management of patients with cardiac amyloidosis: State of the art review and focus on emerging nuclear techniques. *Journal of Nuclear Cardiology*, 21(2), 271–283. doi:10.1007/s12350-013-9800-5

	<sup>123</sup> I-MIBG <sup>49</sup>	Sympathetic cardiac innervation	Decreased H/M ratio and increased washout rate reflect sympathetic cardiac denervation	No
	<sup>123</sup> I-BMIPP <sup>50</sup>	Fatty acid Metabolism	Very limited role	No
	<sup>99m</sup> Tc(V)-DMSA <sup>51</sup>	Metabolism and avid uptake	Limited role due to physiological uptake in the blood pool	No
	<sup>201</sup> Tl redistribution <sup>52</sup>	Perfusion	Higher washout rate associated with amyloidosis	No
	Blood pool ventriculography <sup>51</sup>	Assesses peak filling rate and time to peak filling	Limited data, non-specific Can detect features of restrictive physiology but not specific to cardiac amyloidosis	No
	<sup>99m</sup> Tc-Aprotinin <sup>51</sup>	Amyloid deposit (antiproteases)	5/5 biopsy proven cases had + tracer uptake	No
	<sup>99m</sup> Tc-DPD <sup>53,54,57</sup>	Amyloid deposit (high calcium content)	More useful for extra-abdominal uptake 15/15 + uptake in ATTR vs 0/10 in AL Another study: 1/3 of patients with AL had mild uptake Has Prognostic value Not Available in the USA	Yes
	<sup>99m</sup> Tc-MDP <sup>55</sup>	Amyloid deposit (high calcium content)	Mixed results likely secondary to combining patients with AL and ATTR	Not well known
	<sup>99m</sup> Tc-PYP <sup>56</sup>	Amyloid deposit (high calcium content)	SN 97%, SP 100%, AUC 0.992	Yes
	<sup>67</sup> Ga-citrate <sup>58</sup>	Unknown mechanism for deposition	Limited case reports. Less uptake than <sup>99m</sup> Tc-PYP. No role in cardiac amyloidosis	Not known
	<sup>111</sup> In antimyosin <sup>50</sup>	Binds to areas of myocardial necrosis	7/7 patients had positive uptake Non-specific Only 1 case report	No
	<sup>123</sup> I-Serum amyloid protein <sup>59</sup>	Labels the amyloid pool	Not FDA approved. Only used in 2 European centers Not suitable for cardiac amyloidosis due to movement, blood pool content and lack of fenestrated endothelium in the myocardium Detects visceral uptake in AL but not ATTR	No
	<sup>11</sup> C-BF-227 <sup>66</sup>	Binds to aggregated amyloid fibrils	First PET tracer to be used One case report: correctly identified ATTR deposition in the heart	Not known
	<sup>11</sup> C-PIB <sup>67</sup>	Binds to amyloid fibrils of any type	10/10 patients (ATTR and AL) had uptake and 0/5 volunteers had uptake	No
	<sup>18</sup> F florbetapir <sup>68</sup>	Binds to amyloid fibrils of any type	5/5 patients (3 ATTR, 2 AL) had decreased myocardial washout. 0/2 healthy controls had uptake	No

## Scintigraphie osseuse

- 2 acquisitions
  - Précoce : 5-10min
  - Tardive : 3h
- Caractérisation du type AL vs ATTR
- Pas d'évènement ischémique aigu
- Diagnostic précoce avant signe échographique

Rapezzi, C., Quarta, C. C., Guidalotti, P. L., Pettinato, C., Fanti, S., Leone, O., ... Salvi, F. (2011). Role of  $^{99m}\text{Tc}$ -DPD Scintigraphy in Diagnosis and Prognosis of Hereditary Transthyretin-Related Cardiac Amyloidosis. *JACC: Cardiovascular Imaging*, 4(6), 659–670.  
doi:10.1016/j.jcmg.2011.03.016



## Echelle visuelle

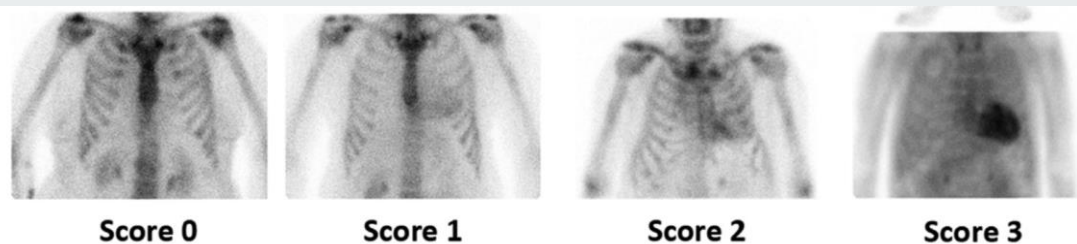


Score 0

Score 1

Score 2

Score 3



## Performance diagnostique

ATTR tout patient

- Score  $\geq 1$  : Se > 99% Sp 86%
- Score  $\geq 2$  : Se 91% Sp 97%

ATTR avec biopsie myocardique

- Score  $\geq 1$  : Se > 99% Sp 68%
- Score  $\geq 2$  : Se 91% Sp 87%
- Score  $\geq 2$  ET absence d'Ig monoclonale sérique/urinaire et FreeLite chain urinaire : Sp 100%

1217 patients, 374 avec biopsie myocardique, multicentrique  
 $^{99m}$ Tc-DPD /  $^{99m}$ Tc-PYP /  $^{99m}$ Tc-HMDP

Gillmore, J. D., Maurer, M. S., Falk, R. H., Merlini, G., Damy, T., Dispenzieri, A., ... Hawkins, P. N. (2016). Nonbiopsy Diagnosis of Cardiac Transthyretin Amyloidosis CLINICAL PERSPECTIVE. *Circulation*, 133(24), 2404–2412.  
doi:10.1161/circulationaha.116.021612



## Performance diagnostique

### Méta analyse pour un Score $\geq 2$ :

-> Pas de différence significative entre les traceurs

99mTc-DPD	Se : 94.6%	Sp : 88.4%
99mTc-HMDP	Se : 85.7%	Sp : 97.5%

### Globale

- Se : 92.2%
- Sp : 95,4%

### 6 études, 529 patients avec biopsie myocardique

Treglia, G., Glaudemans, A. W. J. M., Bertagna, F., Hazenberg, B. P. C., Erba, P. A., Giubbini, R., ... Slart, R. H. J. A. (2018). Diagnostic accuracy of bone scintigraphy in the assessment of cardiac transthyretin-related amyloidosis: a bivariate meta-analysis. *European Journal of Nuclear Medicine and Molecular Imaging*. doi:10.1007/s00259-018-4013-4

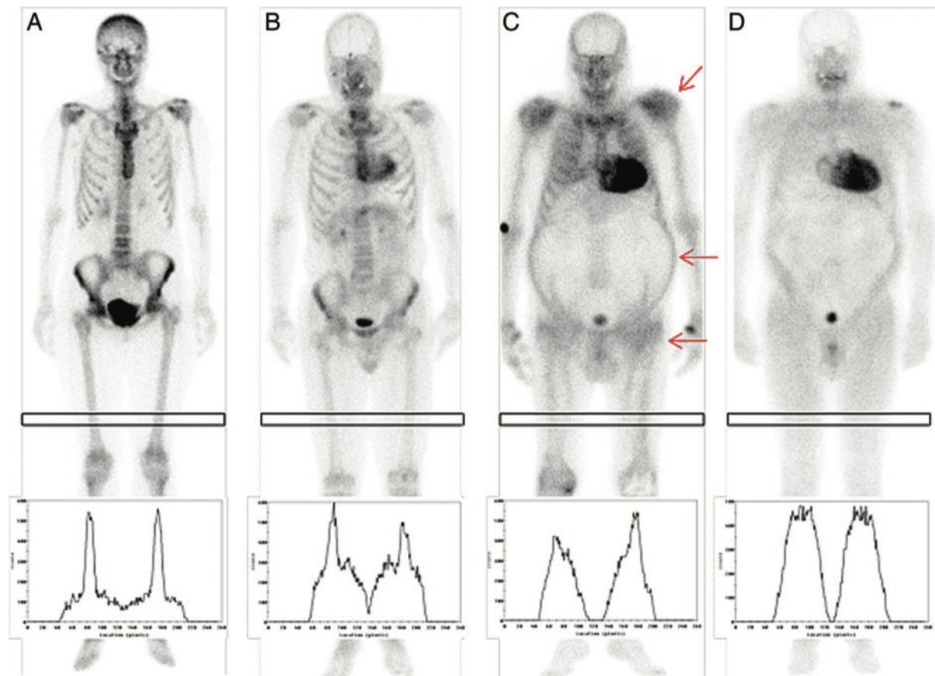


## Score visuel

- Captation des tissus mous

ATTRwt et V122I

Gillmore, J. D., Maurer, M. S., Falk, R. H., Merlini, G., Damy, T., Dispenzieri, A., ... Hawkins, P. N. (2016). Nonbiopsy Diagnosis of Cardiac Transthyretin Amyloidosis CLINICAL PERSPECTIVE. *Circulation*, 133(24), 2404–2412.  
doi:10.1161/circulationaha.116.021612



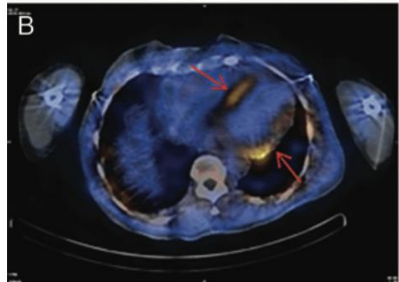
A



## Score visuel

Gillmore, J. D., Maurer, M. S., Falk, R. H., Merlini, G., Damy, T., Dispenzieri, A., ... Hawkins, P. N. (2016). Nonbiopsy Diagnosis of Cardiac Transthyretin Amyloidosis CLINICAL PERSPECTIVE. *Circulation*, 133(24), 2404–2412.  
doi:10.1161/circulationaha.116.021612

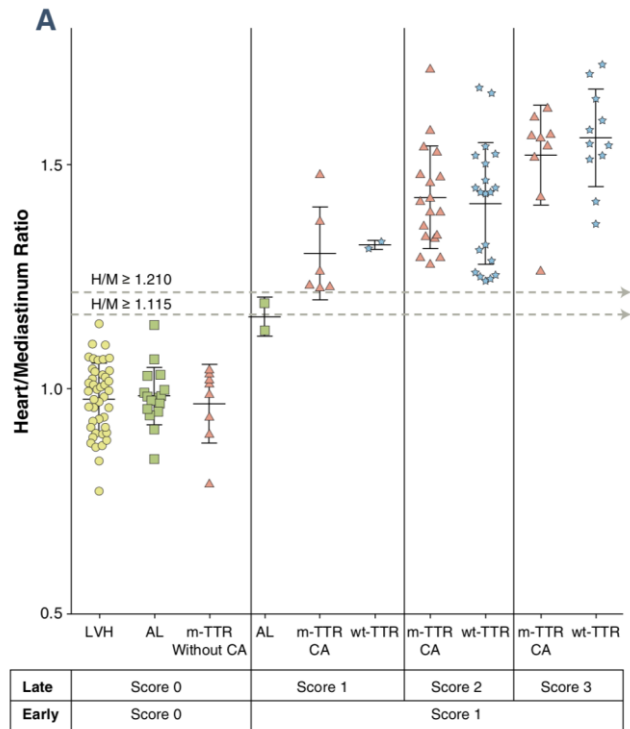
B



## Image précoce

Rapport Cœur / médiastin  
précoce prédictif d'un score  
visuel  $\geq 1$

$H/M \geq 1.210$       Se et Sp = 100%



Galat, A., Van der Gucht, A., Guellich, A., Bodez, D., Cottreau, A.-S., Guendouz, S., ... Rosso, J. (2017). Early Phase  $^{99m}$ Tc-HMDP Scintigraphy for the Diagnosis and Typing of Cardiac Amyloidosis. *JACC: Cardiovascular Imaging*, 10(5), 601–603.  
doi:10.1016/j.jcmg.2016.05.007

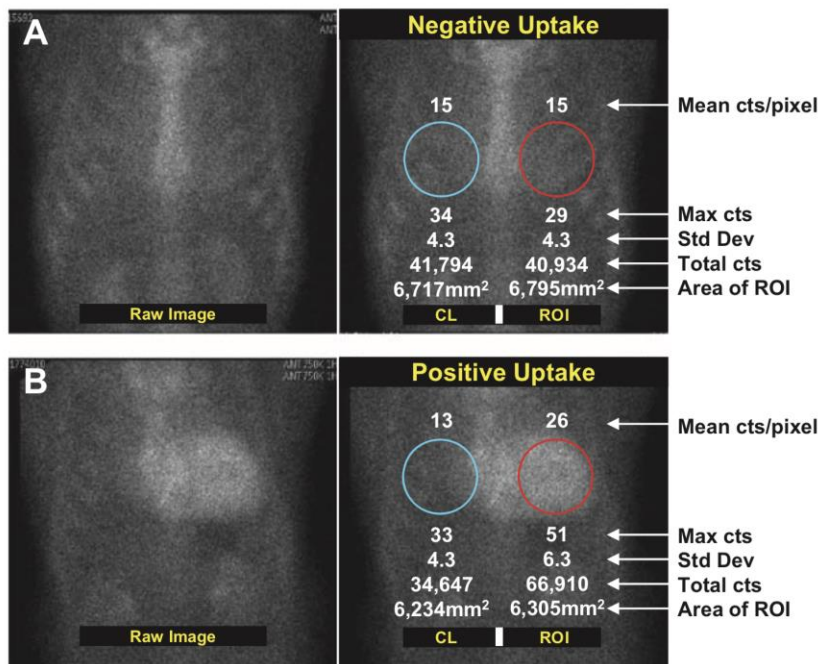
# Performance diagnostique

- Se 97% Sp 100%

Heart/contralateral ratio  
 $H/CL > 1,5$  : ATTR

99mTc- Pyrophosphate  
45 patients

Bokhari S, Castaño A, Pozniakoff T, et al.  
99mTc-pyrophosphate scintigraphy for  
differentiating light-chain cardiac amyloidosis  
from the transthyretin-related familial and  
senile cardiac amyloidoses. *Circ Cardiovasc  
Imaging* 2013;6: 195-201.



## Pronostic

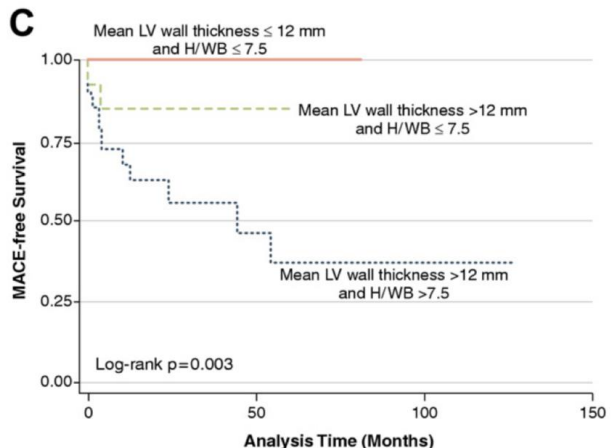
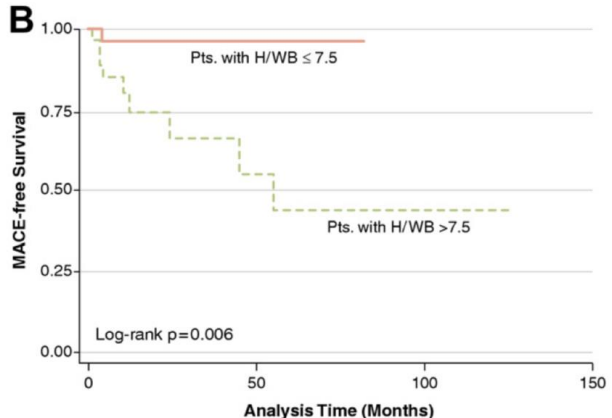
- Heart/whole body > 7.5 risque majoré de MACE

MACE : major adverse cardiac events

- Mort de causes cardiovasculaires
- Hospitalisation pour IC
- BAV3
- FA/Flutter
- SCA

63 patients, 40 avec ATTR

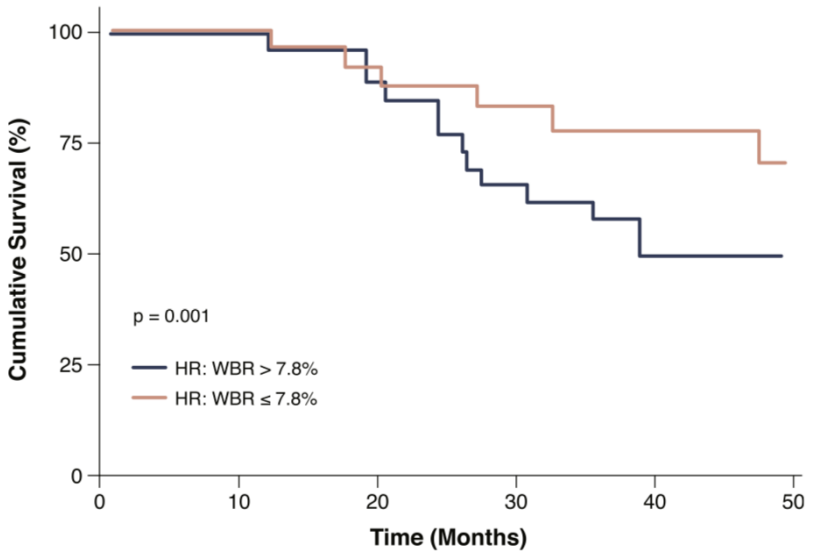
Rapezzi, C., Quarta, C. C., Guidiotti, P. L., Pettinato, C., Fanti, S., Leone, O., ... Salvi, F. (2011). Role of 99mTc-DPD Scintigraphy in Diagnosis and Prognosis of Hereditary Transthyretin-Related Cardiac Amyloidosis. *JACC: Cardiovascular Imaging*, 4(6), 659–670. doi:10.1016/j.jcmg.2011.03.016





## Pronostic

- H/WB > 7,8
- Mortalité toute cause
- 70 patients dont 51 avec biopsie myocardique



Kristen, A. V., Scherer, K., Buss, S., aus dem Siepen, F., Haufe, S., Bauer, R., ... Steen, H. (2014). Noninvasive Risk Stratification of Patients With Transthyretin Amyloidosis. JACC: Cardiovascular Imaging, 7(5), 502-510. doi:10.1016/j.jcmg.2014.03.002

## Traitements ATTR

- Diurétiques : réduisent la précharge
- Transplantation hépatique : utile chez patient avec manifestations précoces (neurologiques) mais peu chez les patients avec atteinte cardiaque (morbidité et progression de l'atteinte)

Drug	Phase	TTR Type	Organs	Study Number
Doxycycline + taurooursodeoxycholic acid	II	Wild type and mutant	Cardiac, nerve	<a href="#">NCT01171859</a>
Reusiran (ALN-TTRsc), Alnylam Pharmaceuticals Cambridge (Cambridge, Massachusetts)	III	Mutant	Cardiac	<a href="#">NCT02319005</a>
Tafamidis	III	Wild type and mutant	Cardiac	<a href="#">NCT01994889</a>
Diflunisal	II/III	Mutant	Nerve	<a href="#">NCT01432587</a>
Patisiran (ALN-TTR02), Alnylam Pharmaceuticals Cambridge (Cambridge, Massachusetts)	III	Mutant	Nerve	<a href="#">NCT01960348</a>
ISIS-TTR <sub>Rx</sub> Isis Pharmaceuticals (Carlsbad, California)	III	Mutant	Nerve	<a href="#">NCT01737398</a>
SOMO226, SOM Biotech SL (Barcelona, Spain)	I-II	Mutant	Nerve	<a href="#">NCT02191826</a>

Gertz, M. A., Benson, M. D., Dyck, P. J., Grogan, M., Coelho, T., Cruz, M., ... Merlini, G. (2015). Diagnosis, Prognosis, and Therapy of Transthyretin Amyloidosis. *Journal of the American College of Cardiology*, 66(21), 2451–2466.  
doi:10.1016/j.jacc.2015.09.075

Kristen, A. V., Kreusser, M. M., Blum, P., Schönlund, S. O., Frankenstein, L., Dösch, A. O., ... Raake, P. W. J. (2018). Improved outcomes after heart transplantation for cardiac amyloidosis in the modern era. *The Journal of Heart and Lung Transplantation*, 37(5), 611–618.  
doi:10.1016/j.healun.2017.11.015

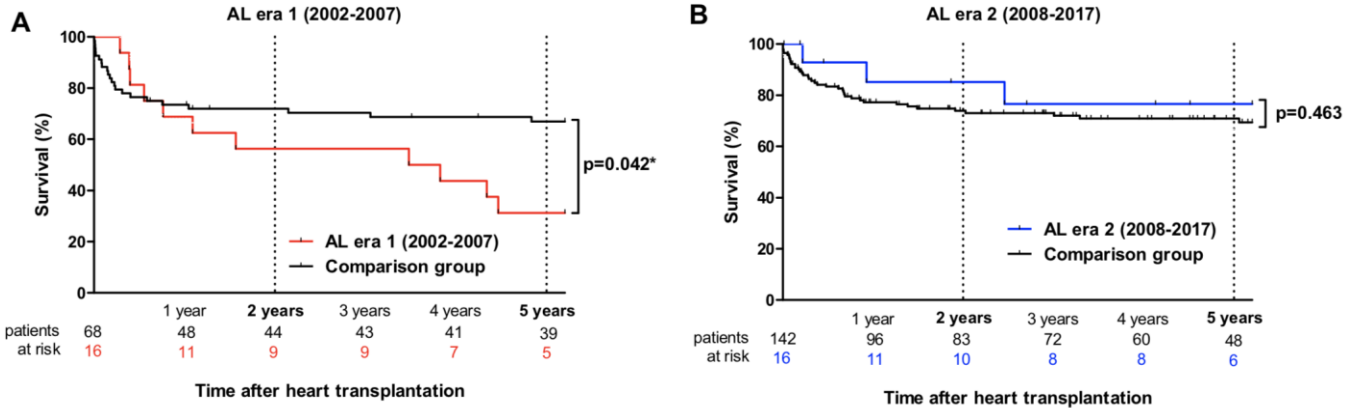


## Traitements AL

- Chimiothérapie à haute dose + greffe autologue
- Inhibiteur du protéasome (bortezomib) + Méphalan

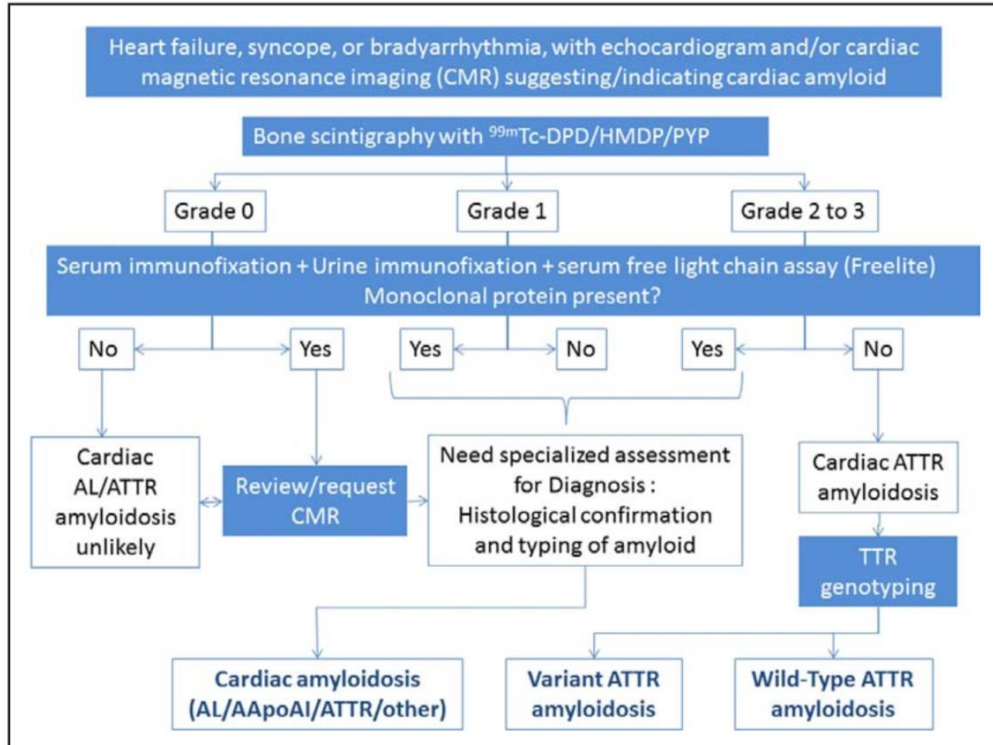
San Miguel JF, Schlag R, Khuageva NK, et al. Bortezomib plus melphalan and prednisone for initial treatment of multiple myeloma. *N Engl J Med* 2008;359:906-17.

## Traitements AL



- Transplantation cardiaque chez les patients présentant une amylose sans manifestation extra-cardiaque (16 patients par période)

Kristen, A. V., Kreusser, M. M., Blum, P., Schönland, S. O., Frankenstein, L., Dösch, A. O., ... Raake, P. W. J. (2018). Improved outcomes after heart transplantation for cardiac amyloidosis in the modern era. *The Journal of Heart and Lung Transplantation*, 37(5), 611-618. doi:10.1016/j.healun.2017.11.015



Se : 92.2%

Sp : 95,4%

Distinction AL / ATTR

Pour un score  $\geq 2$

---

# H/WB > 7,5

Facteur de mauvais pronostic

